

Тиристор низкочастотный Т343-630-28



| | | | | | |
|--|-----------|------|------------------------|------|------|
| Средний прямой ток | I_{TAV} | | 630 А | | |
| Повторяющееся импульсное напряжение в закрытом состоянии | U_{DRM} | | 2000 - 2800 В | | |
| Повторяющееся импульсное обратное напряжение | U_{RRM} | | | | |
| Время выключения | t_q | | 250, 320, 400, 500 мкс | | |
| $U_{DRM}, U_{RRM}, В$ | 2000 | 2200 | 2400 | 2600 | 2800 |
| Класс по напряжению | 20 | 22 | 24 | 26 | 28 |
| $T_j, °C$ | -60 ÷ 125 | | | | |

ПРЕДЕЛЬНО ДОПУСТИМЫЕ ЗНАЧЕНИЯ ПАРАМЕТРОВ

| Обозначение и наименование параметра | | Ед. изм. | Значение | Условия измерения | |
|---|--------------------------------------|-------------------|--------------|---|--|
| Параметры в проводящем состоянии | | | | | |
| I_{TAV} | Средний ток в открытом состоянии | А | 630 660 | $T_c=87 °C$; двухстороннее охлаждение; $T_c=85 °C$; двухстороннее охлаждение; 180 эл. град. синус; 50 Гц | |
| I_{TRMS} | Действующий ток в открытом состоянии | А | 989 | $T_c=87 °C$; двухстороннее охлаждение; 180 эл. град. синус; 50 Гц | |
| I_{TSM} | Ударный ток в открытом состоянии | кА | 11.0 13.0 | $T_j=T_{jmax}$ $T_j=25 °C$ | 180 эл. град. синус; $t_p=10$ мс; единичный импульс; $U_D=U_R=0$ В; Импульс управления: $I_G=2$ А; $t_{GP}=50$ мкс; $di_G/dt \geq 1$ А/мкс |
| | | | 12.0 14.0 | $T_j=T_{jmax}$ $T_j=25 °C$ | 180 эл. град. синус; $t_p=8.3$ мс; единичный импульс; $U_D=U_R=0$ В; Импульс управления: $I_G=2$ А; $t_{GP}=50$ мкс; $di_G/dt \geq 1$ А/мкс |
| I^2t | Защитный фактор | $A^2C \cdot 10^3$ | 600 840 | $T_j=T_{jmax}$ $T_j=25 °C$ | 180 эл. град. синус; $t_p=10$ мс; единичный импульс; $U_D=U_R=0$ В; Импульс управления: $I_G=2$ А; $t_{GP}=50$ мкс; $di_G/dt \geq 1$ А/мкс |
| | | | 590 810 | $T_j=T_{jmax}$ $T_j=25 °C$ | 180 эл. град. синус; $t_p=8.3$ мс; единичный импульс; $U_D=U_R=0$ В; Импульс управления: $I_G=2$ А; $t_{GP}=50$ мкс; $di_G/dt \geq 1$ А/мкс |

| Блокирующие параметры | | | | |
|------------------------|---|------------------|--|--|
| U_{DRM}, U_{RRM} | Повторяющееся импульсное обратное напряжение и повторяющееся импульсное напряжение в закрытом состоянии | В | 2000 - 2800 | $T_{j\min} < T_j < T_{j\max}$; 180 эл. град. синус; 50 Гц; управление разомкнуто |
| U_{DSM}, U_{RSM} | Неповторяющееся импульсное обратное напряжение и неповторяющееся импульсное напряжение в закрытом состоянии | В | 2100 - 2900 | $T_{j\min} < T_j < T_{j\max}$; 180 эл. град. синус; единичный импульс; управление разомкнуто |
| U_D, U_R | Постоянное обратное и постоянное прямое напряжение | В | $0.6 \cdot U_{DRM}$ $0.6 \cdot U_{RRM}$ | $T_j = T_{j\max}$; управление разомкнуто |
| Параметры управления | | | | |
| I_{FGM} | Максимальный прямой ток управления | А | 8 | $T_j = T_{j\max}$ |
| U_{RGM} | Максимальное обратное напряжение управления | В | 5 | |
| P_G | Максимальная рассеиваемая мощность по управлению | Вт | 4 | $T_j = T_{j\max}$ для постоянного тока управления |
| Параметры переключения | | | | |
| $(di_T/dt)_{crit}$ | Критическая скорость нарастания тока в открытом состоянии ($f=1$ Hz) | А/мкс | 1600 | $T_j = T_{j\max}$; $U_D = 0.67 \cdot U_{DRM}$; $I_{TM} = 2100$ А; Импульс управления: $I_G = 2$ А; $t_{GP} = 50$ мкс; $di_G/dt \geq 2$ А/мкс |
| Тепловые параметры | | | | |
| T_{stg} | Температура хранения | °С | -60...+50 | |
| T_j | Температура р-п перехода | °С | -60...+125 | |
| Механические параметры | | | | |
| F | Монтажное усилие | кН | 14.0 - 16.0 | |
| a | Ускорение | м/с ² | 50 | В зажатом состоянии |

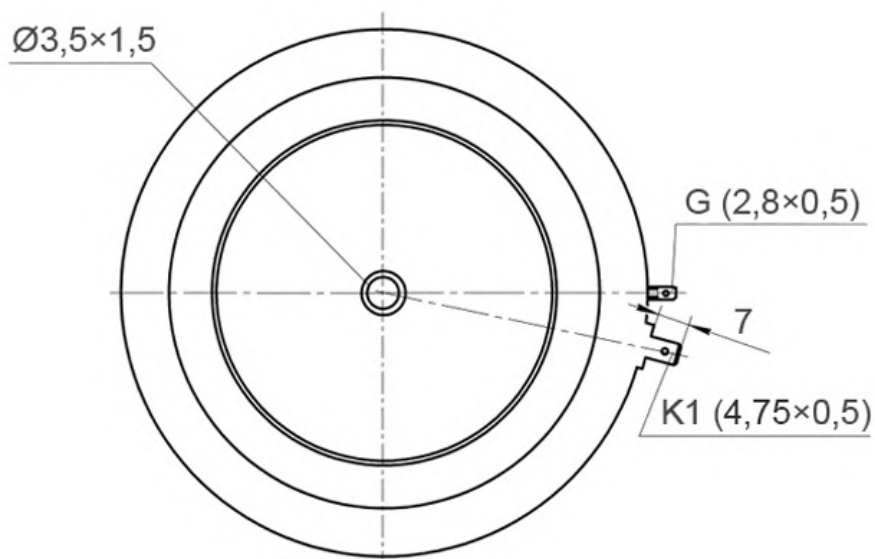
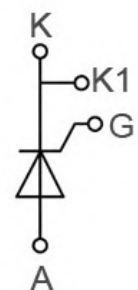
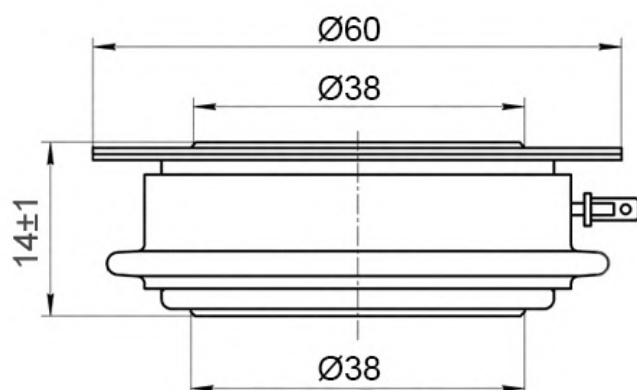
ХАРАКТЕРИСТИКИ

| Обозначение и наименование характеристики | Ед. изм. | Значение | Условия измерения | |
|---|---|----------|--|--|
| Характеристики в проводящем состоянии | | | | |
| U_{TM} | Импульсное напряжение в открытом состоянии, макс | В | 2.00 | $T_j = 25$ °С; $I_{TM} = 1978$ А |
| $U_{T(TO)}$ | Пороговое напряжение, макс | В | 0.999 | $T_j = T_{j\max}$; $0.5 p I_{TAV} < I_T < 1.5 p I_{TAV}$ |
| r_T | Динамическое сопротивление в открытом состоянии, макс | МОм | 0.629 | |
| I_L | Ток включения, макс | мА | 1000 | $T_j = 25$ °С; $U_D = 12$ В; Импульс управления: $I_G = 2$ А; $t_{GP} = 50$ мкс; $di_G/dt \geq 1$ А/мкс |
| I_H | Ток удержания, макс | мА | 300 | $T_j = 25$ °С; $U_D = 12$ В; управление разомкнуто |
| Блокирующие характеристики | | | | |
| I_{DRM}, I_{RRM} | Повторяющийся импульсный обратный ток и повторяющийся импульсный ток в закрытом состоянии, макс | мА | 100 | $T_j = T_{j\max}$; $U_D = U_{DRM}$; $U_R = U_{RRM}$ |
| $(du_D/dt)_{crit}$ | Критическая скорость нарастания напряжения в закрытом состоянии ¹⁾ , мин | В/мкс | 200, 320, 500, 1000, 1600, 2000, 2500 | $T_j = T_{j\max}$; $U_D = 0.67 \cdot U_{DRM}$; управление разомкнуто |

| Характеристики управления | | | | | |
|-----------------------------|--|---------------|-----------------------|---|--|
| U_{GT} | Отпирающее постоянное напряжение управления, макс | В | 3.00 2.50 1.50 | $T_j = T_{j\ min}$ $T_j = 25\ ^\circ C$ $T_j = T_{j\ max}$ | $U_D = 12\ В; I_D = 3\ А;$ Постоянный ток управления |
| I_{GT} | Отпирающий постоянный ток управления, макс | мА | 400 250 150 | $T_j = T_{j\ min}$ $T_j = 25\ ^\circ C$ $T_j = T_{j\ max}$ | |
| U_{GD} | Неотпирающее постоянное напряжение управления, мин | В | 0.55 | $T_j = T_{j\ max};$ $U_D = 0.67 \cdot U_{DRM};$ | Постоянный ток управления |
| I_{GD} | Неотпирающий постоянный ток управления, мин | мА | 60.00 | | |
| Динамические характеристики | | | | | |
| t_{gd} | Время задержки включения, макс | мкс | 0.55 | $T_j = 25\ ^\circ C; U_D = 1500\ В; I_{TM} = I_{TAV};$ $di/dt = 200\ А/мкс;$ | Импульс управления: $I_G = 2\ А; U_G = 20\ В;$ $t_{GP} = 50\ мкс; di_G/dt = 2\ А/мкс$ |
| t_{gt} | Время включения, макс | мкс | 5.00 | | |
| t_q | Время выключения ²⁾ , макс | мкс | 250, 320, 400, 500 | $du_D/dt = 50\ В/мкс; T_j = T_{j\ max}; I_{TM} = I_{TAV}; di_R/dt = -10\ А/мкс; U_R = 100\ В;$ $U_D = 0.67 \cdot U_{DRM};$ | |
| Q_{rr} | Заряд обратного восстановления, макс | мкКл | 2220 | $T_j = T_{j\ max}; I_{TM} = I_{TAV}; di_R/dt = -10\ А/мкс;$ $V_R = 100\ В$ | |
| t_{rr} | Время обратного восстановления, макс | мкс | 30 | | |
| I_{rrM} | Ток обратного восстановления, макс | А | 148 | | |
| Тепловые характеристики | | | | | |
| R_{thjc} | Тепловое сопротивление р-п переход-корпус, макс | $^\circ C/Вт$ | 0.030 | Постоянный ток | Двухстороннее охлаждение |
| R_{thjc-A} | | | 0.066 | | Охлаждение со стороны анода |
| R_{thjc-K} | | | 0.054 | | Охлаждение со стороны катода |
| R_{thck} | Тепловое сопротивление корпус-охладитель, макс | $^\circ C/Вт$ | 0.006 | Постоянный ток | |
| Механические характеристики | | | | | |
| w | Масса, не более | г | 210 | | |
| D_s | Длина пути тока утечки по поверхности | мм (дюйм) | 7.86 (0.309) | | |
| D_a | Длина пути тока утечки по воздуху | мм (дюйм) | 6.10 (0.240) | | |

ГАБАРИТНЫЕ РАЗМЕРЫ

Тип корпуса: Т.С1 (РТ41)



К – катод;

А – анод;

К1 – вспомогательный катод;

Г – управляющий электрод;

Все размеры в миллиметрах

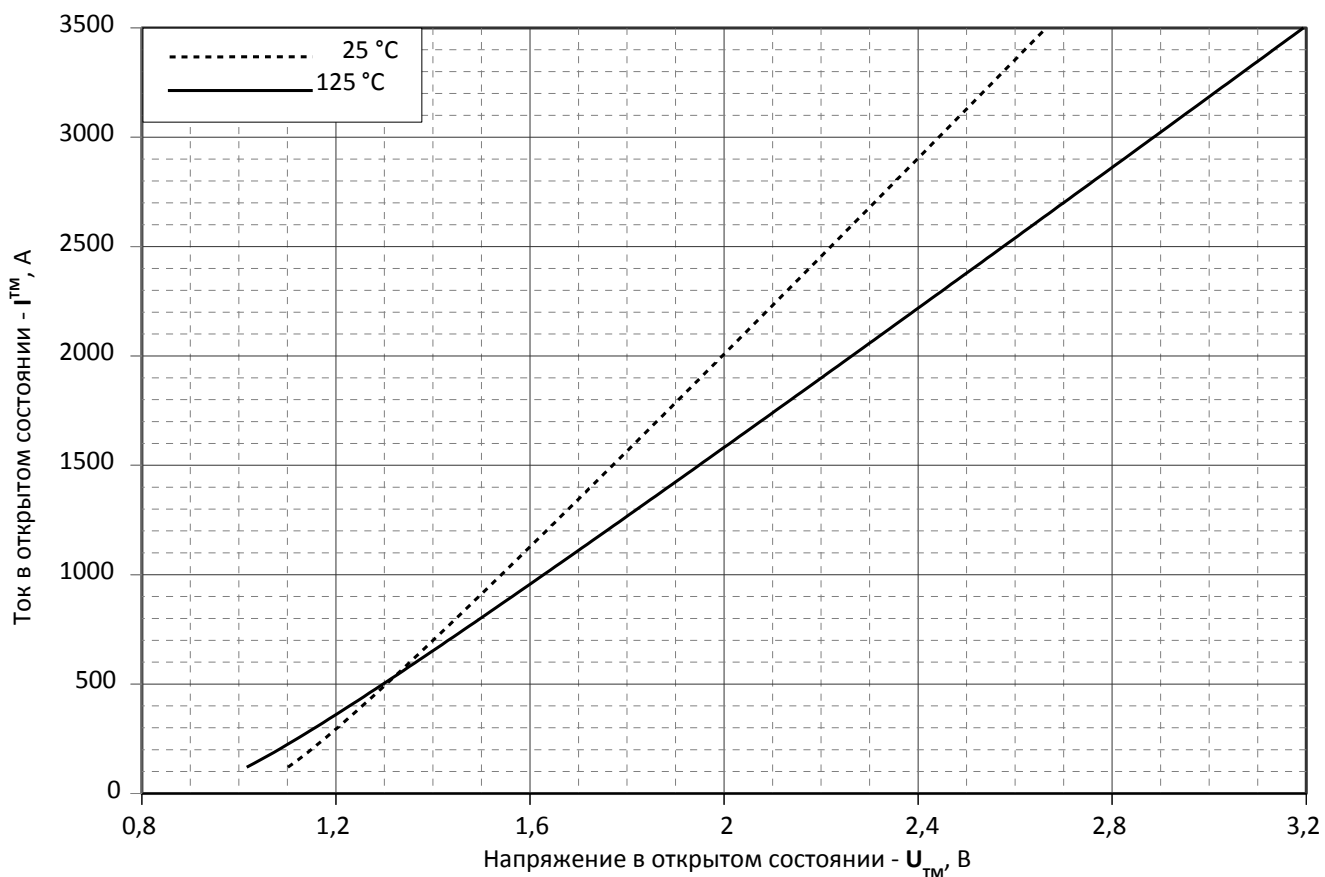


Рис. 1 – Предельная вольт – амперная характеристика

Аналитическая функция предельной вольт – амперной характеристики:

$$V_T = A + B \cdot i_T + C \cdot \ln(i_T + 1) + D \cdot \sqrt{i_T}$$

| | Коэффициенты для графика | |
|----------|--------------------------|------------------------------------|
| | T _j = 25°C | T _j = T _{jmax} |
| A | 0.94162000 | 0.8139700 |
| B | 0.00042851 | 0.0005919 |
| C | 0.02035300 | 0.0225200 |
| D | 0.00096119 | 0.0021121 |

Модель предельной вольт – амперной характеристики (см. Рис. 1)

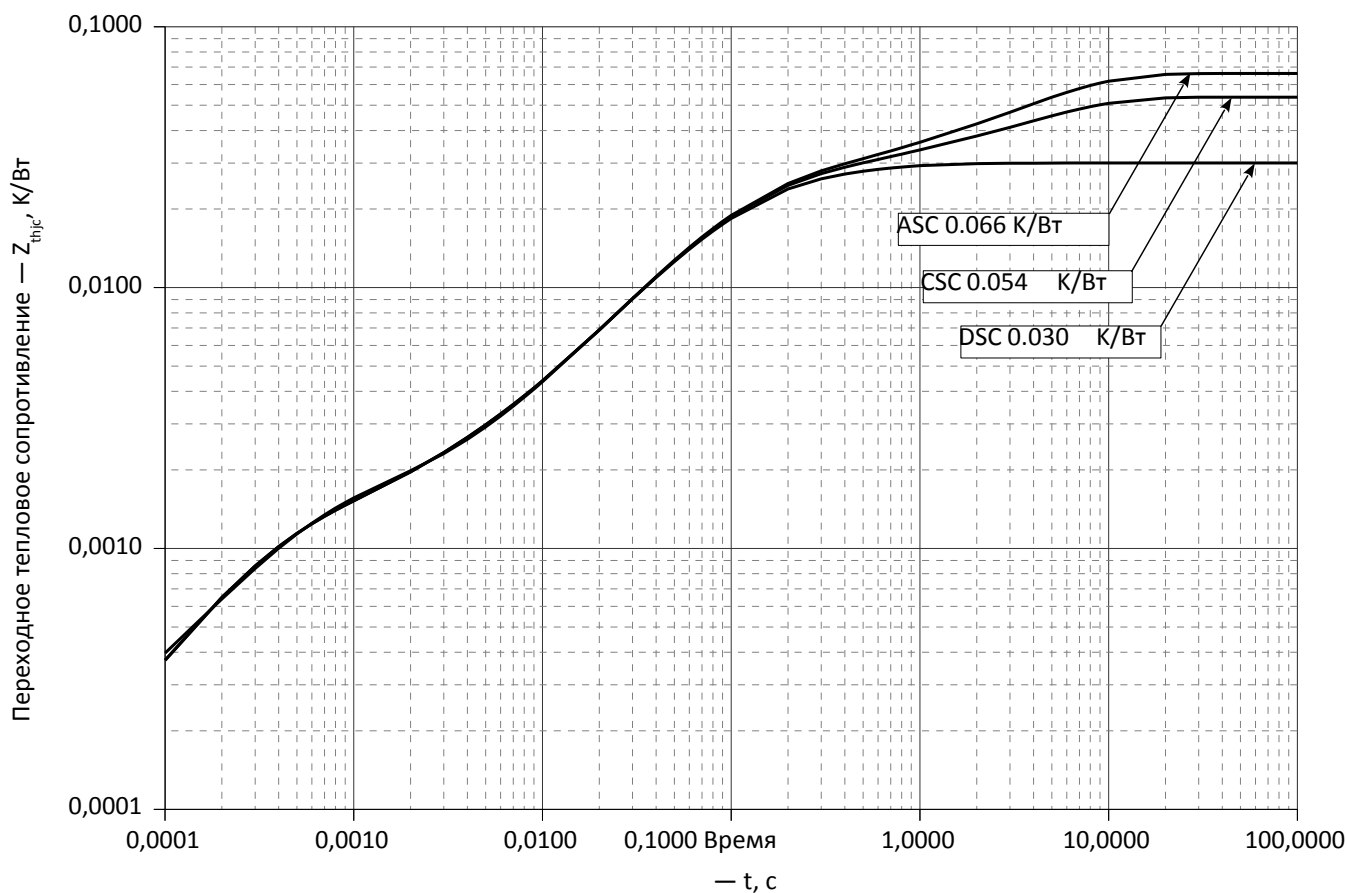


Рис. 2 – Зависимость переходного теплового сопротивления Z_{thjc} от времени t

Аналитическая зависимость переходного теплового сопротивления переход – корпус:

$$Z_{thjc} = \sum_{i=1}^n R_i \left(1 - e^{-\frac{t}{\tau_i}} \right)$$

Где $i = 1$ to n , n – число суммирующихся элементов.

t = продолжительность импульсного нагрева в секундах.

Z_{thjc} = Тепловое сопротивление за время t .

R_i, τ_i = расчетные коэффициенты, приведенные в таблице.

Постоянный ток, двустороннее охлаждение

| i | 1 | 2 | 3 | 4 | 5 | 6 |
|--------------------|-----------|---------|----------|----------|-----------|------------|
| $R_i, \text{K/W}$ | 0.0007052 | 0.01986 | 0.001443 | 0.006652 | 0.001253 | 0.00009733 |
| τ_i, c | 1.200 | 0.083 | 0.0205 | 0.350 | 0.0004173 | 0.000001 |

Постоянный ток, охлаждение со стороны анода

| i | 1 | 2 | 3 | 4 | 5 | 6 |
|--------------------|---------|----------|---------|----------|-----------|-----------|
| $R_i, \text{K/W}$ | 0.03615 | 0.006266 | 0.0178 | 0.004365 | 0.0004912 | 0.001067 |
| τ_i, c | 4.713 | 0.5062 | 0.09497 | 0.04557 | 0.002123 | 0.0002807 |

Постоянный ток, охлаждение со стороны катода

| i | 1 | 2 | 3 | 4 | 5 | 6 |
|--------------------|-----------|-----------|----------|---------|----------|--------|
| $R_i, \text{K/W}$ | 0.001065 | 0.0004934 | 0.004583 | 0.01764 | 0.006202 | 0.0237 |
| τ_i, c | 0.0002798 | 0.002114 | 0.04598 | 0.09501 | 0.4891 | 4.712 |

Модель переходного теплового сопротивления переход - корпус (см. Рис. 2)

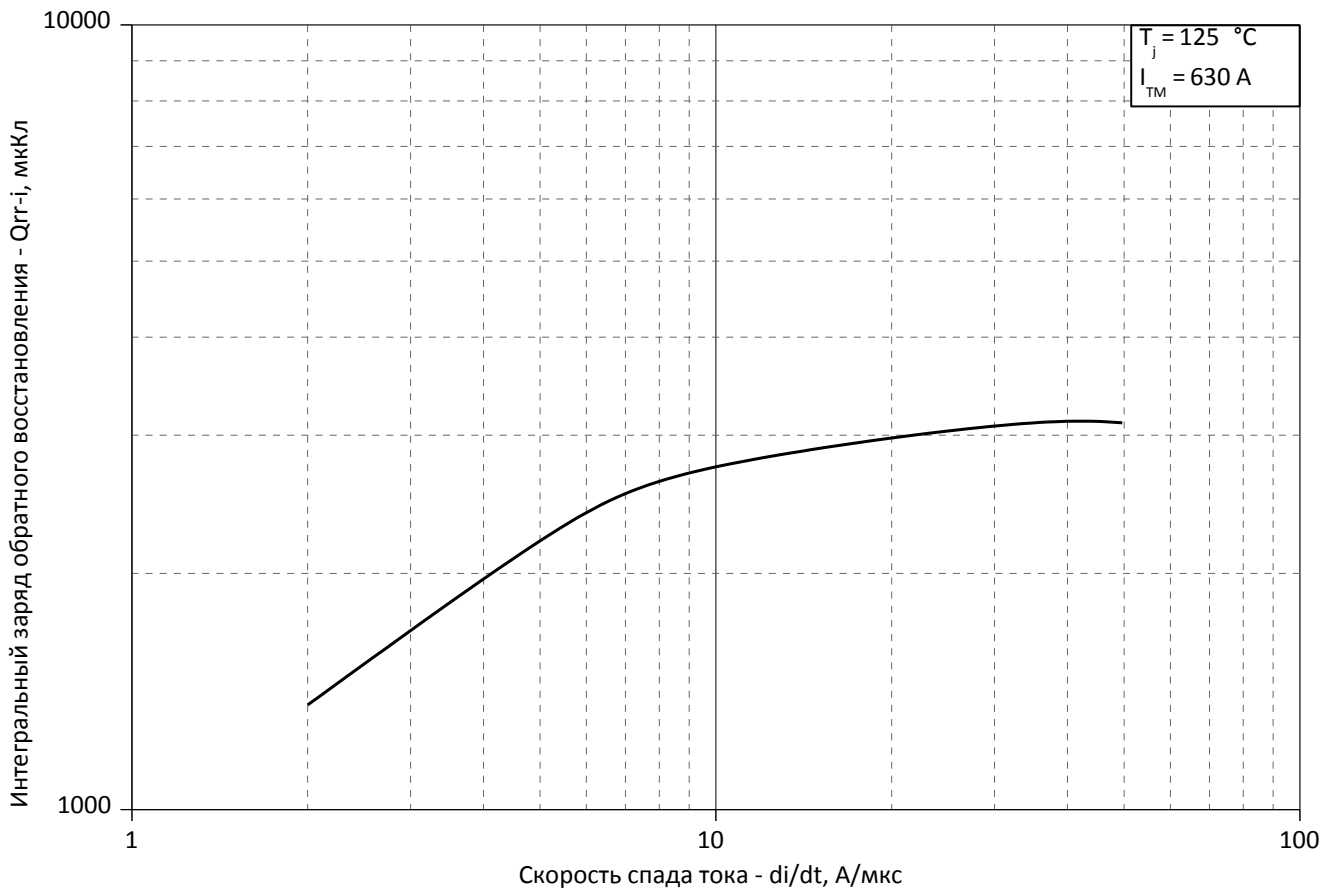


Рис. 3 – Зависимость максимального интегрального заряда обратного восстановления Q_{rr-i} от скорости спада тока di_r/dt в открытом состоянии

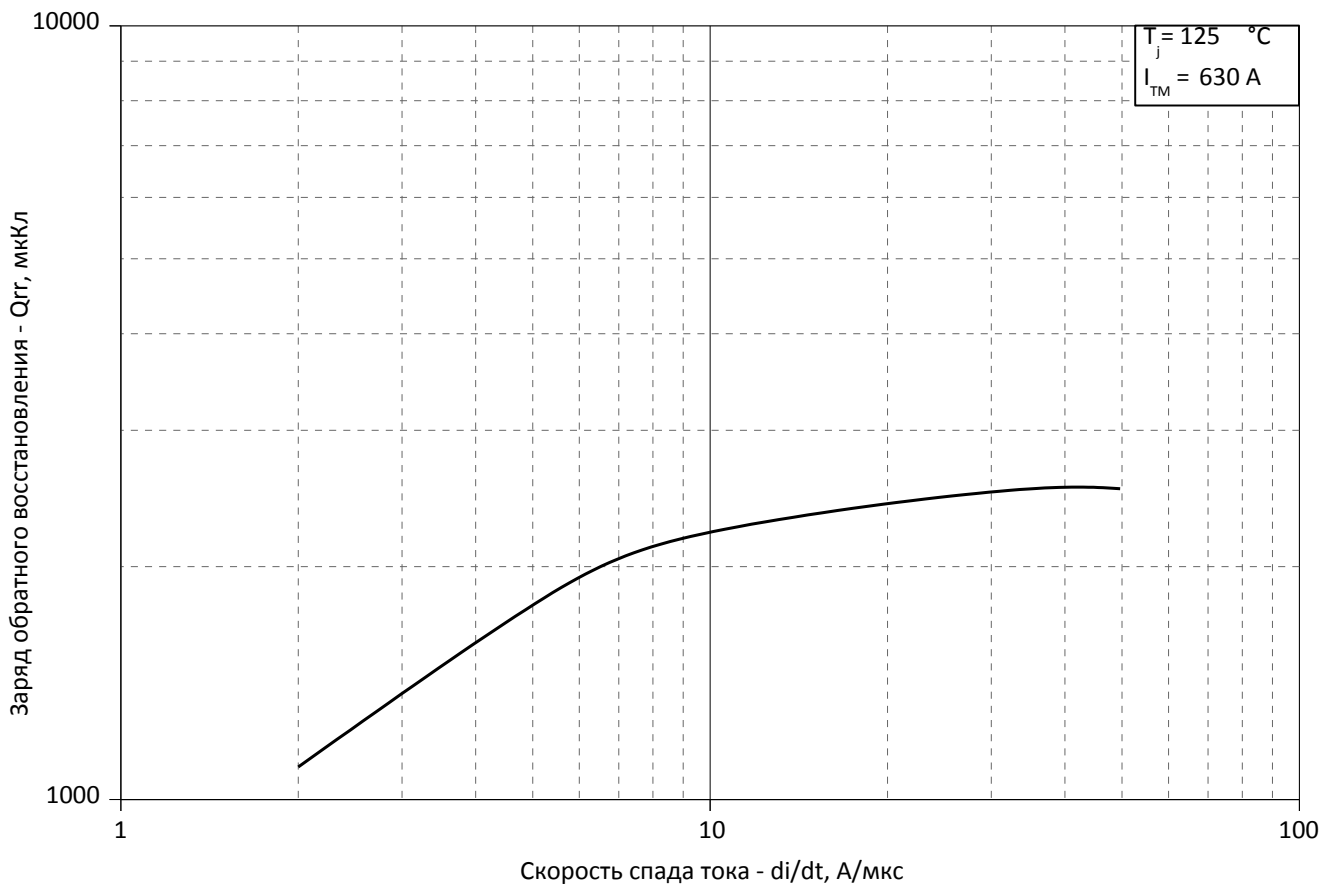


Рис. 4 – Зависимость максимального заряда обратного восстановления Q_{rr} от скорости спада тока di_r/dt (по ГОСТ 24461, хорда 25%) в открытом состоянии

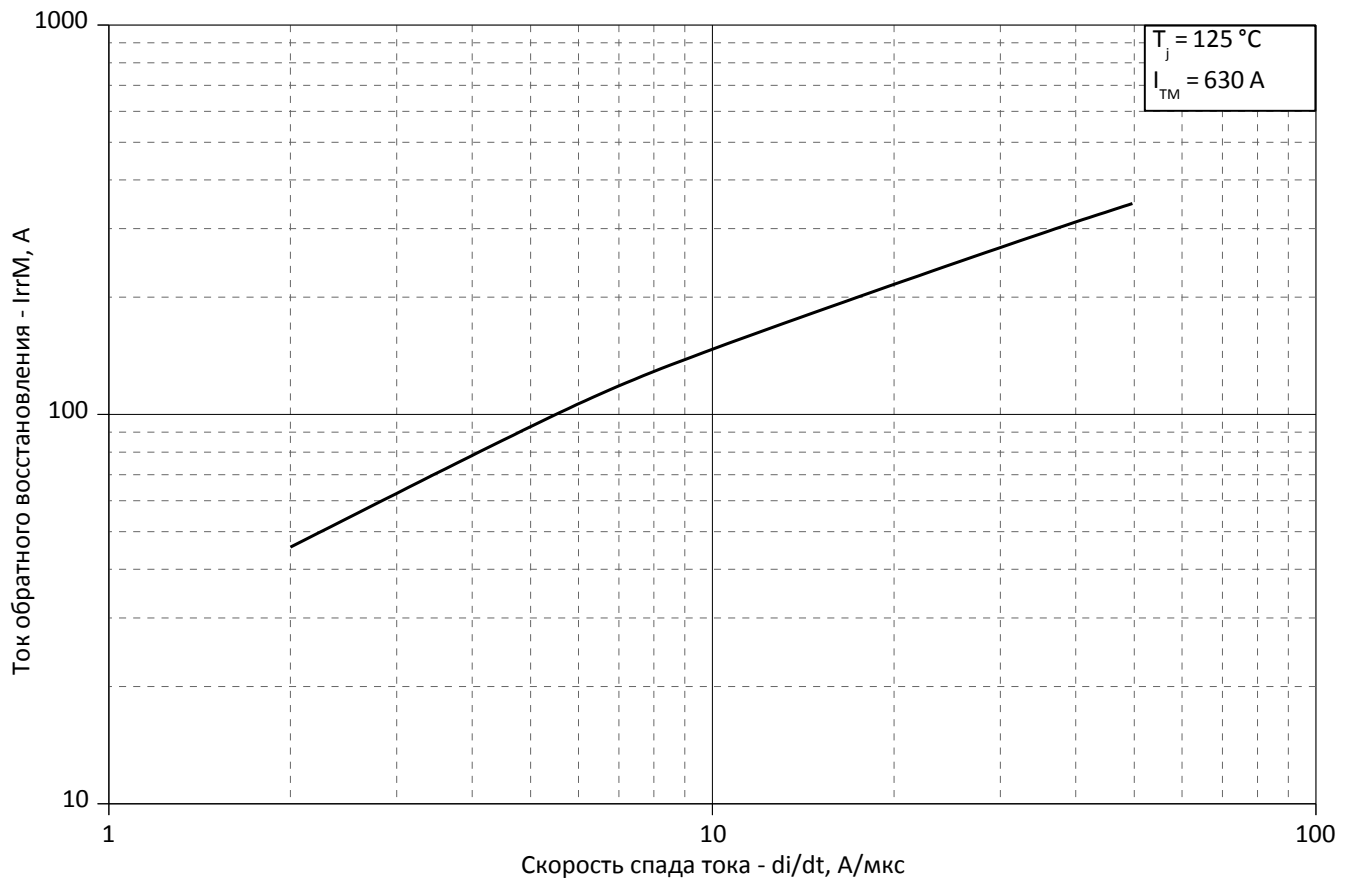


Рис. 5 – Зависимость максимального тока обратного восстановления I_{TRM} от скорости спада тока di_R/dt в открытом состоянии

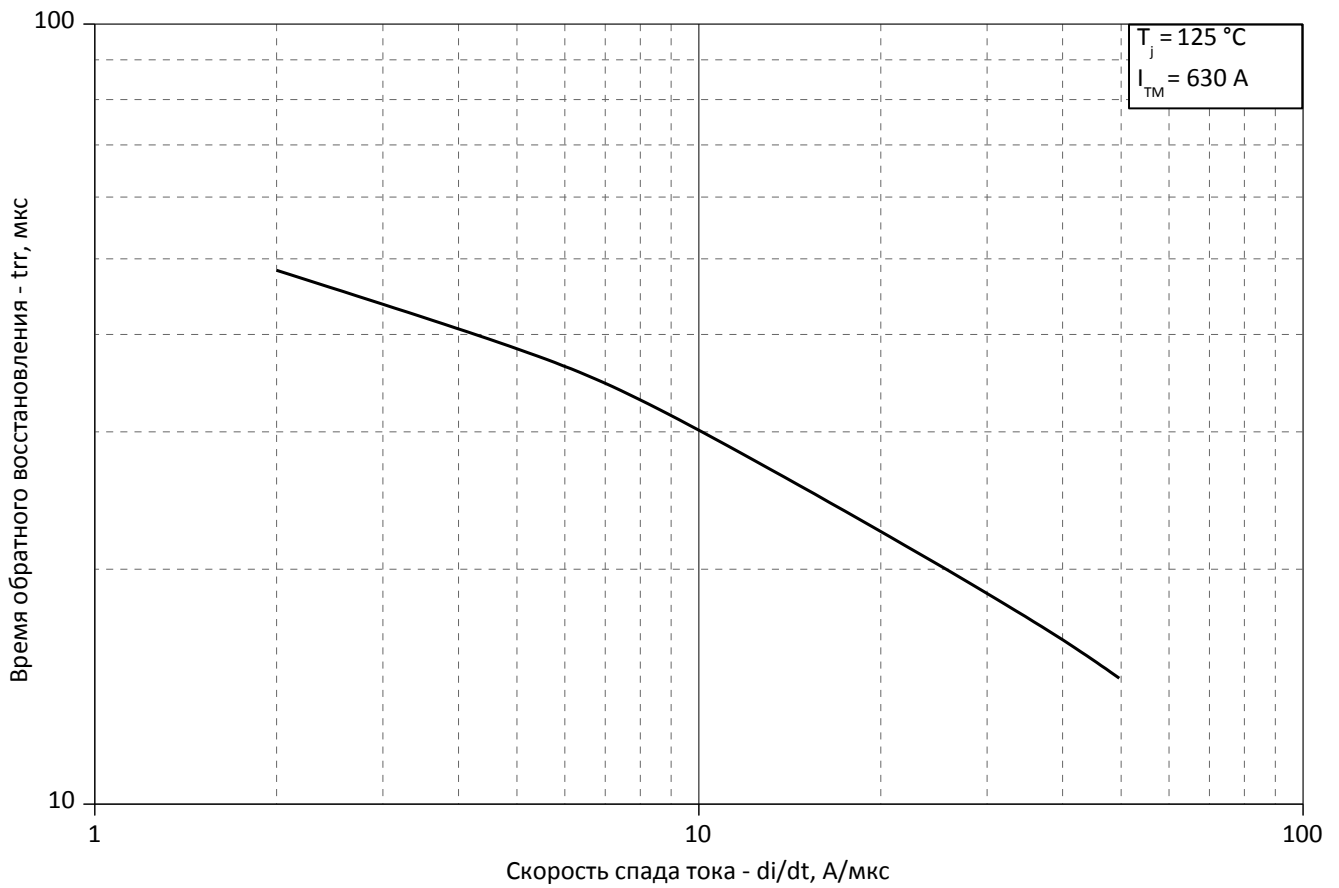


Рис. 6 - Зависимость максимального времени обратного восстановления t_{tr} от скорости спада тока di_R/dt (по ГОСТ 24461, хорда 25%) в открытом состоянии

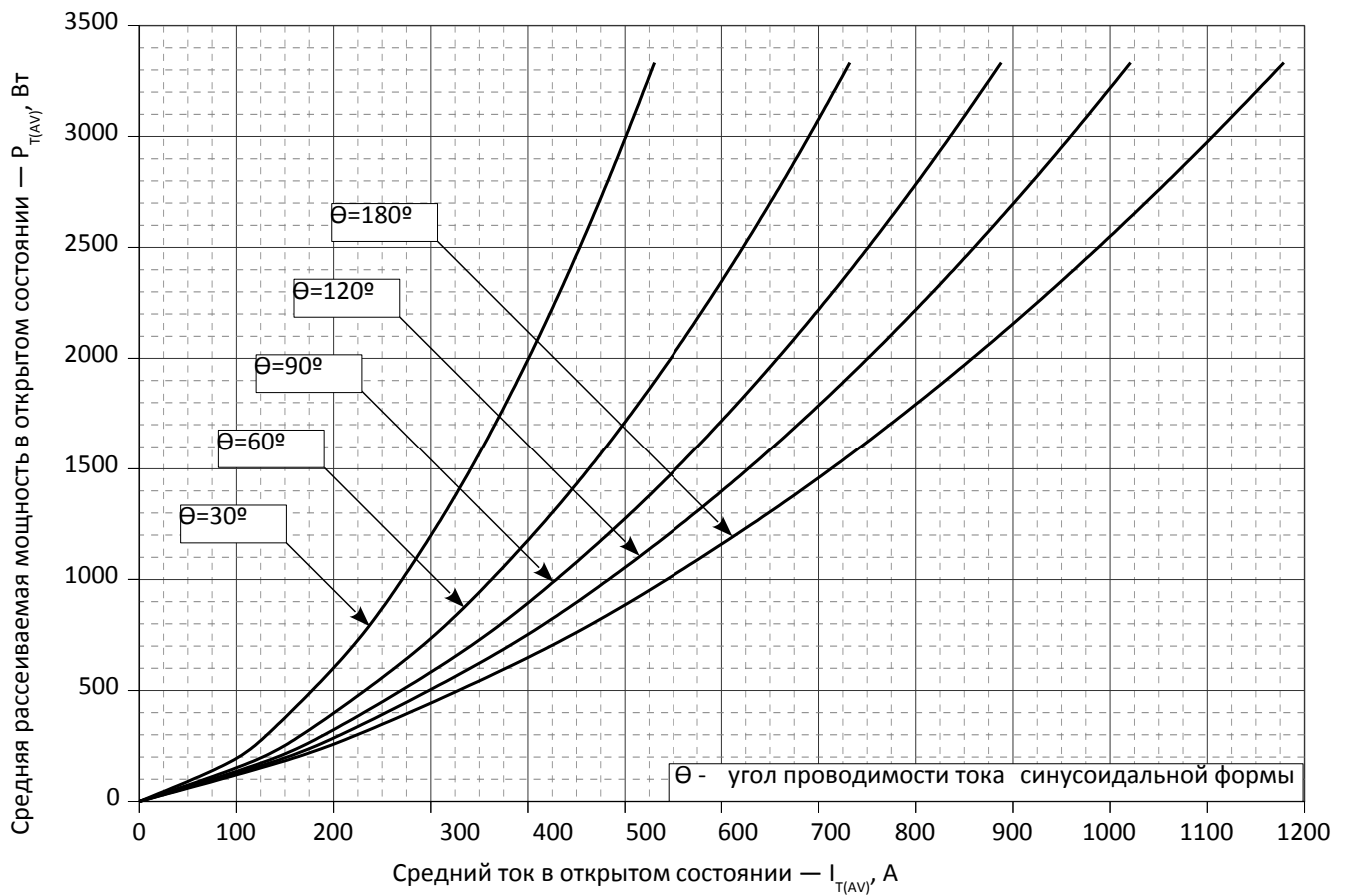


Рис. 7 - Зависимость потерь мощности P_{TAV} от среднего тока в открытом состоянии I_{TAV} синусоидальной формы при различных углах проводимости ($f=50$ Гц, двустороннее охлаждение)

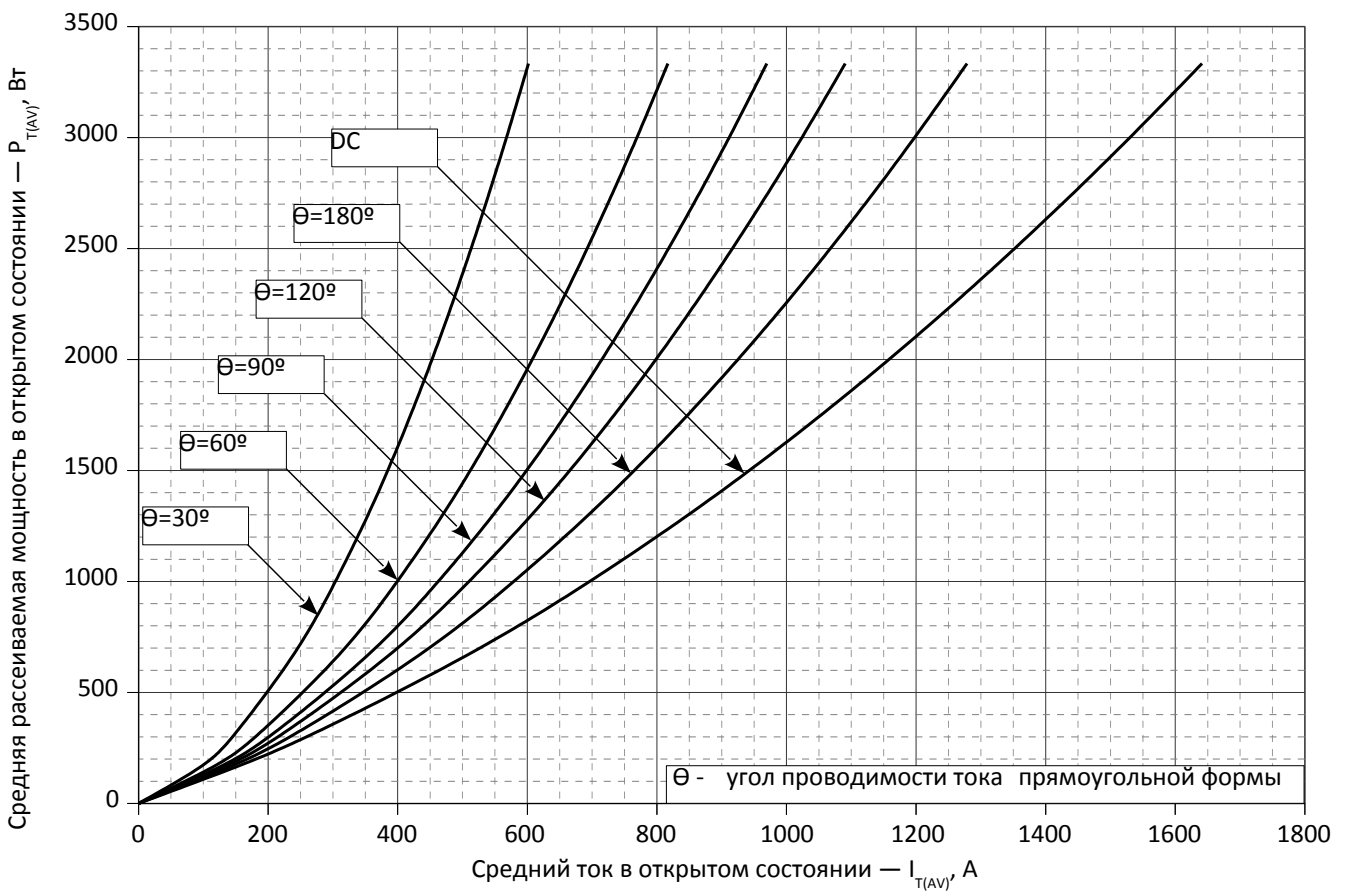


Рис. 8 - Зависимость потерь мощности P_{TAV} от среднего тока в открытом состоянии I_{TAV} прямоугольной формы при различных углах проводимости ($f=50$ Гц, двустороннее охлаждение)

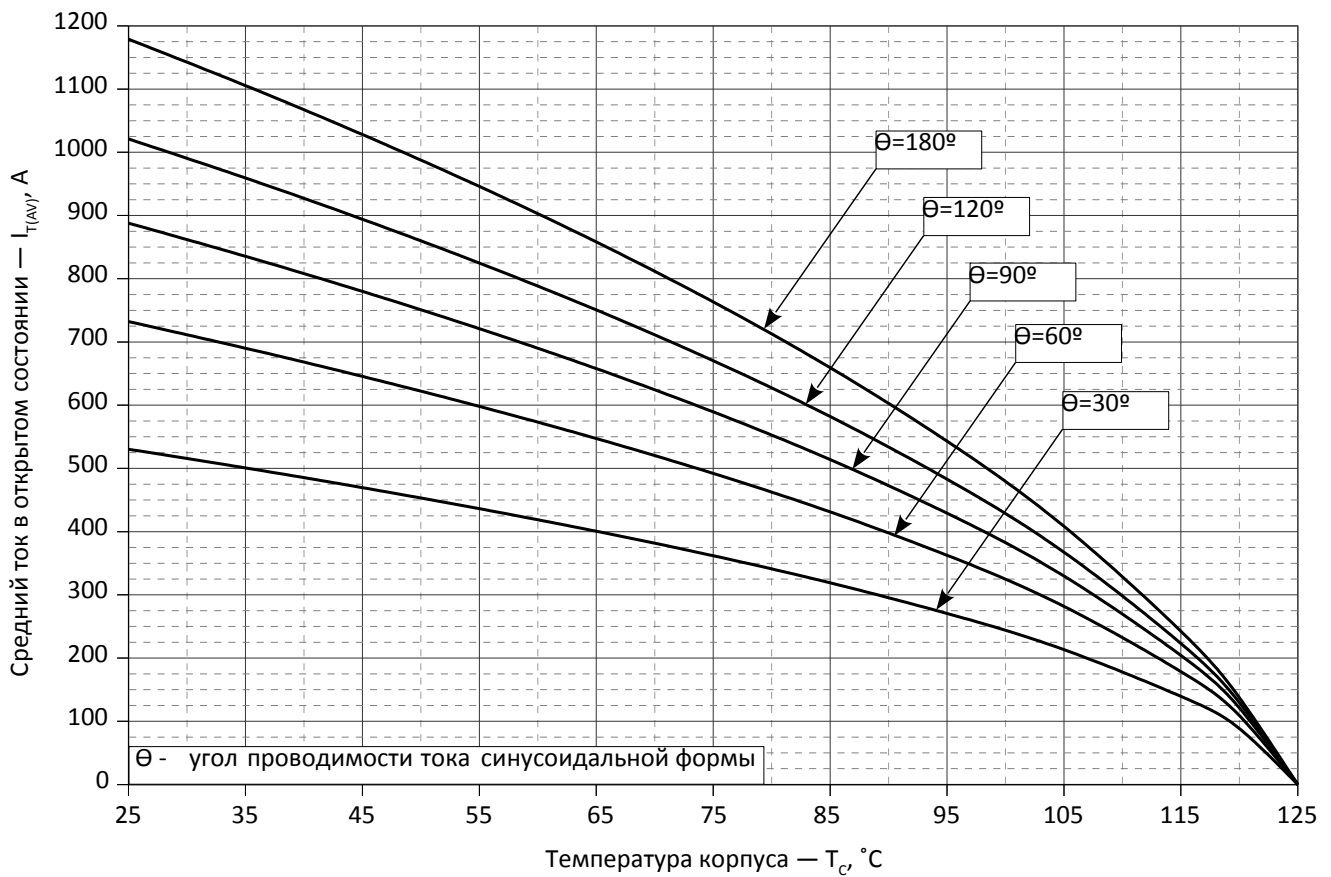


Рис. 9 – Зависимость среднего тока в открытом состоянии I_{TAV} от температуры корпуса T_c для синусоидальной формы тока при различных углах проводимости ($f=50$ Гц, Двустороннее охлаждение)

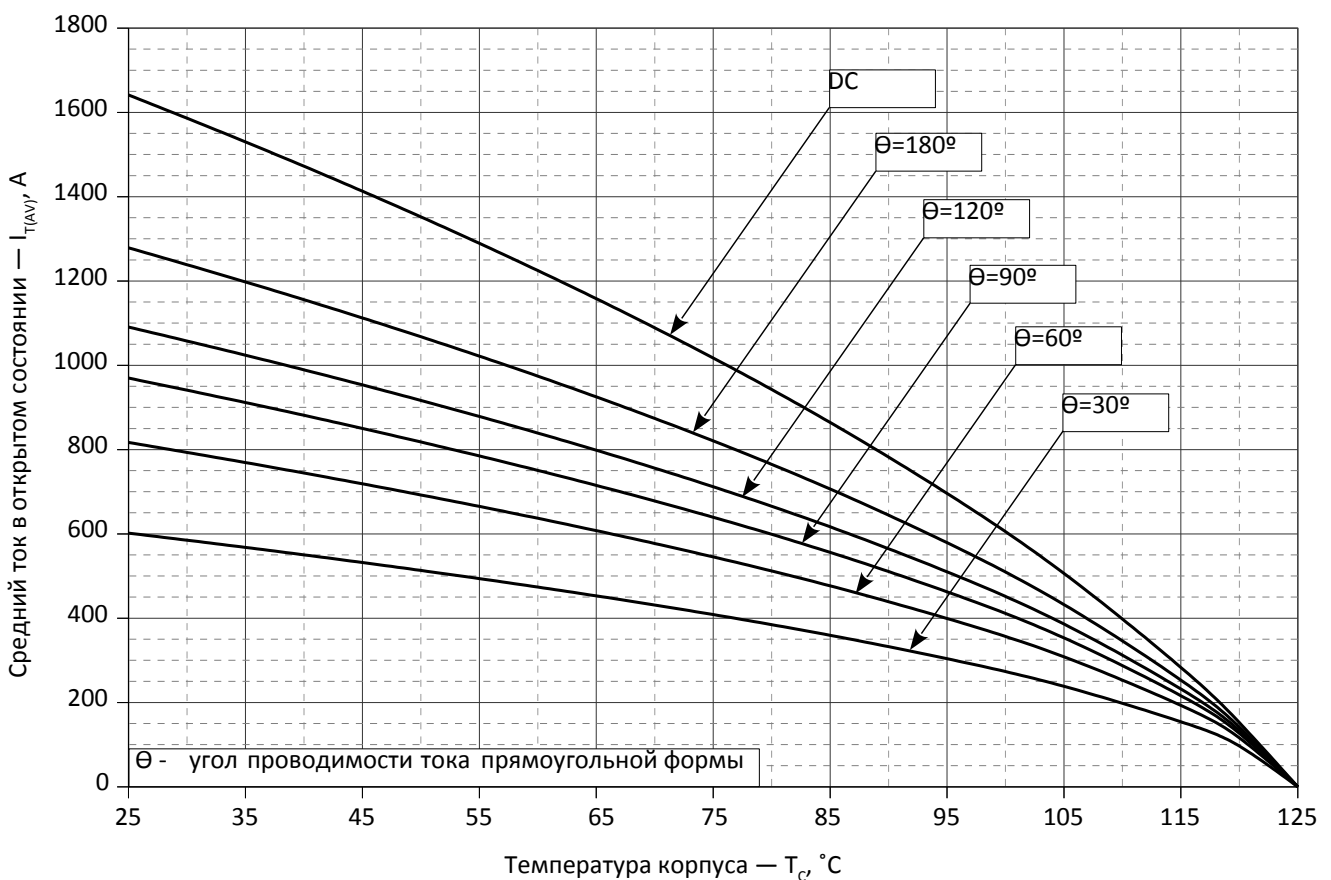


Рис. 10 - Зависимость среднего тока в открытом состоянии I_{TAV} от температуры корпуса T_c для прямоугольной формы тока при различных углах проводимости ($f=50$ Гц, Двустороннее охлаждение)

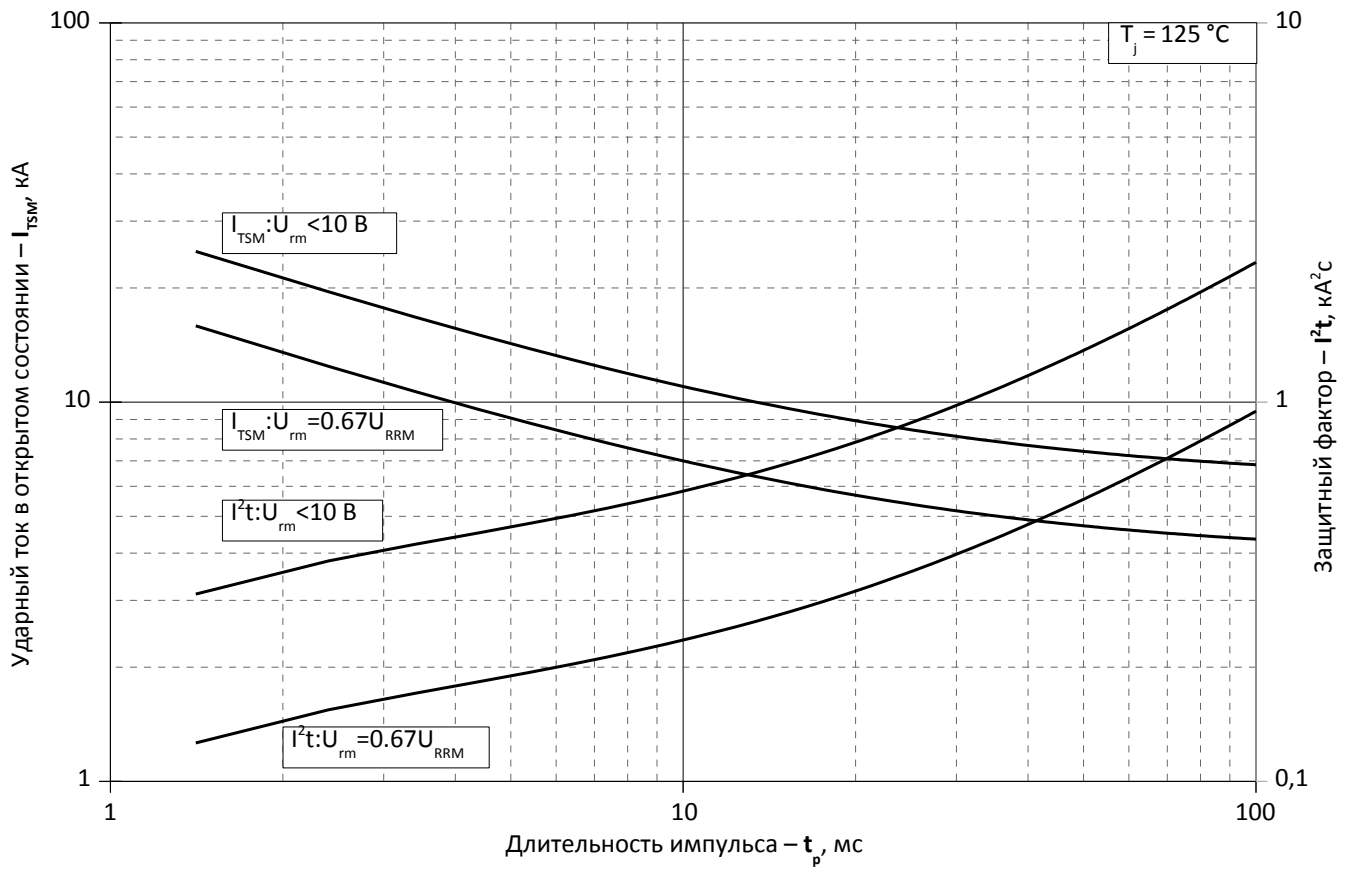


Рис. 11 – Зависимость максимальной амплитуды ударного тока в открытом состоянии I_{TSM} и защитного фактора I^2t от длительности импульса t_p

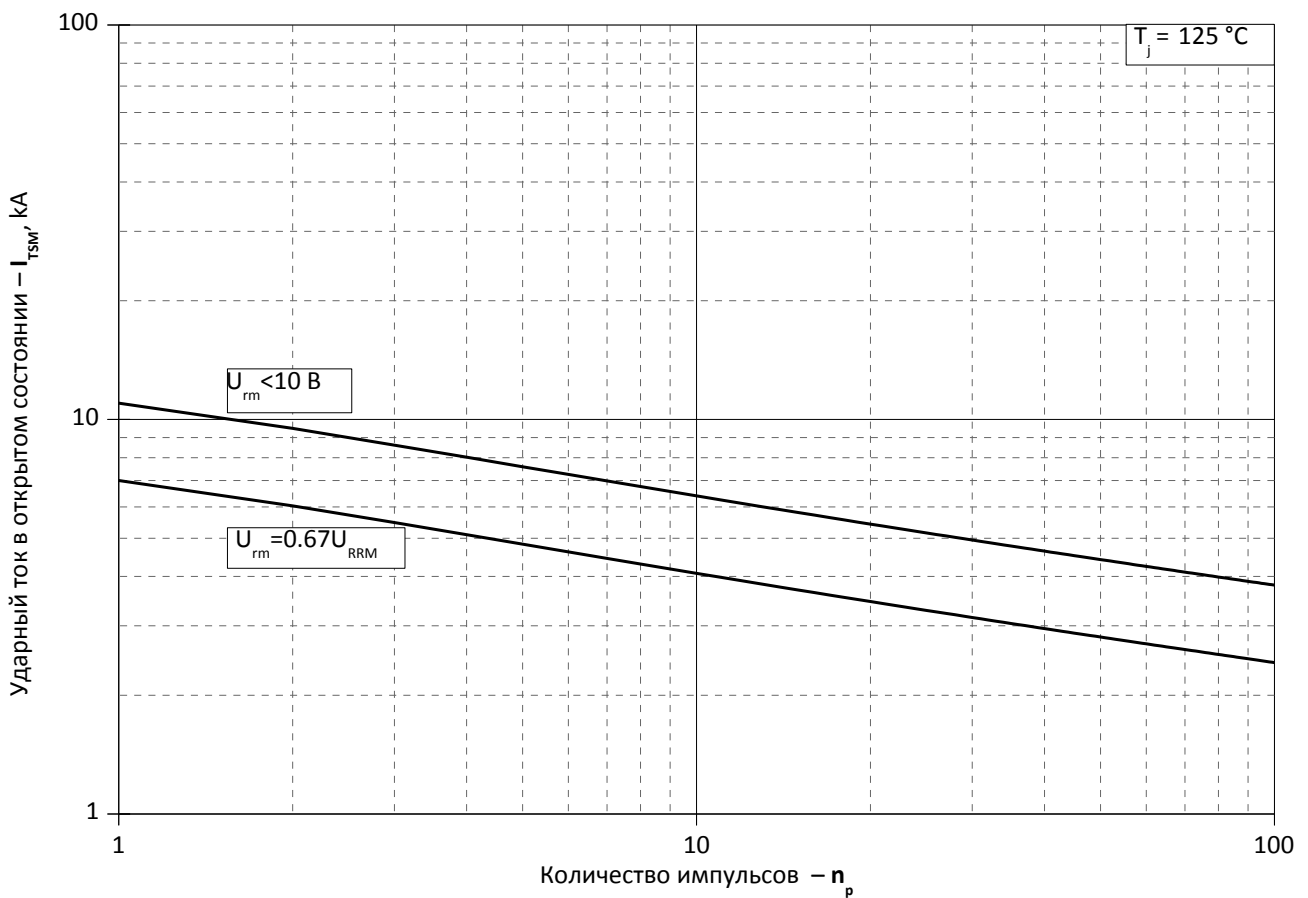


Рис. 12 – Зависимость максимальной амплитуды ударного тока в открытом состоянии I_{TSM} от количества импульсов n_p